

1 / 24

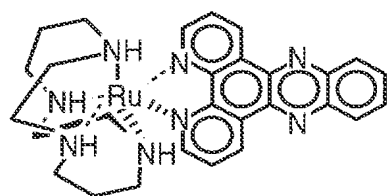
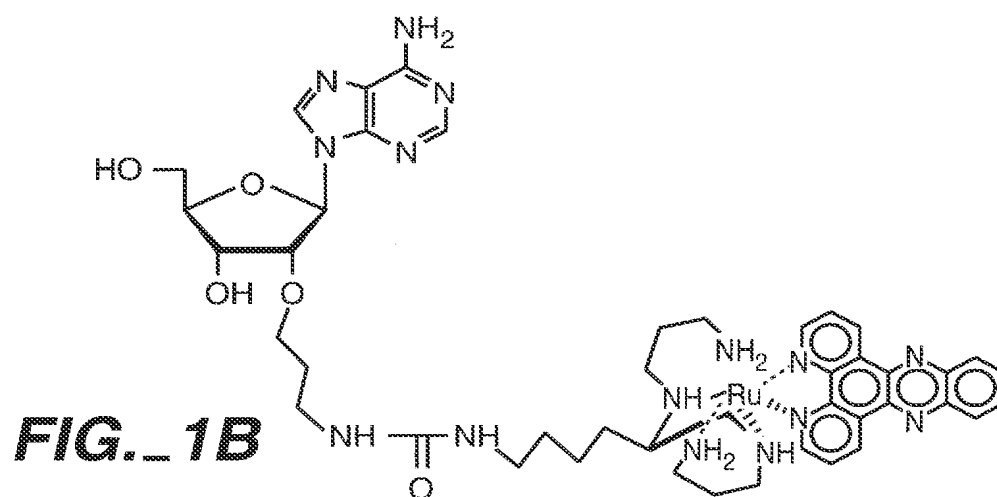
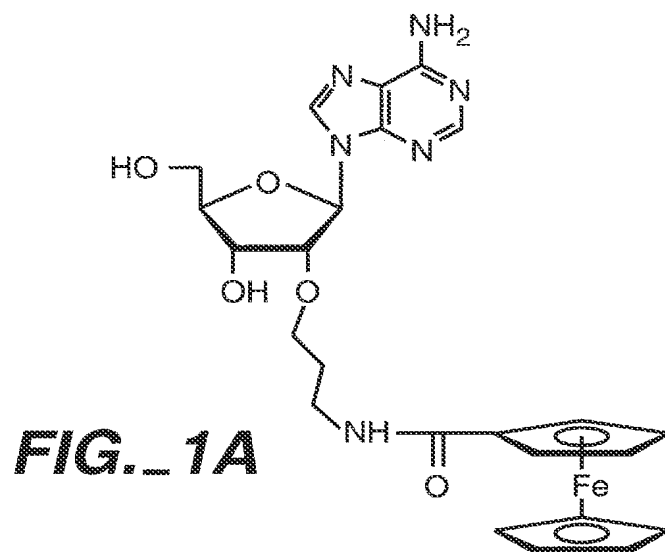
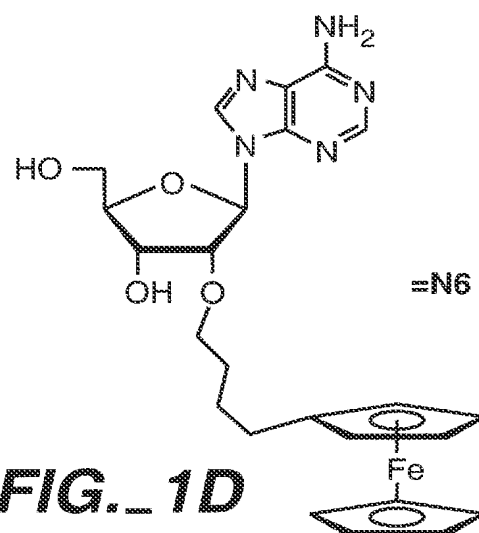


FIG._1C



2 / 24

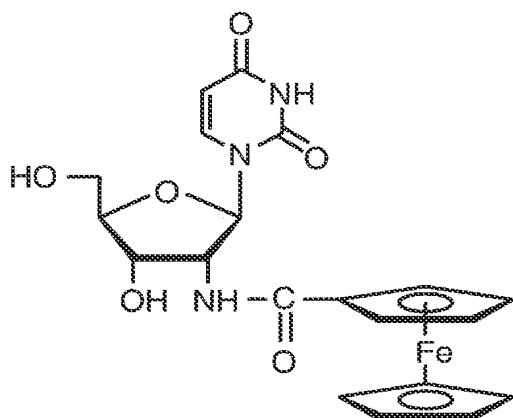


FIG. 1E

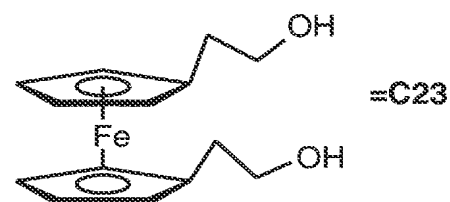


FIG. 1F

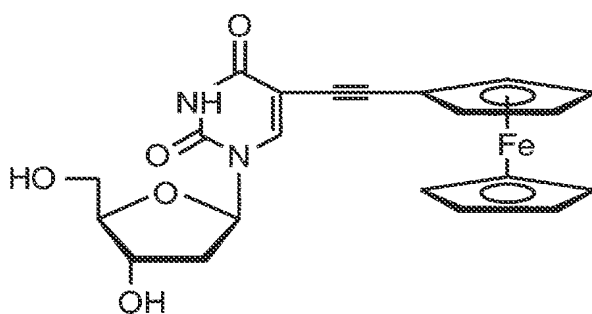


FIG. 1G

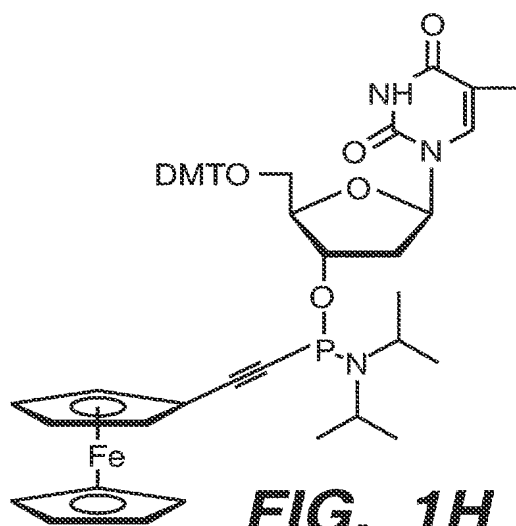


FIG. 1H

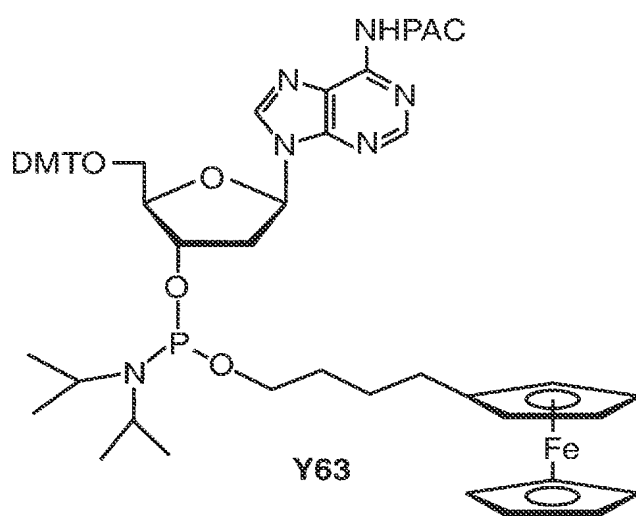


FIG. 1I

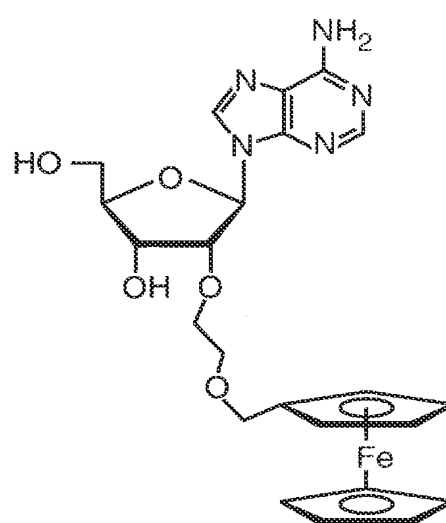
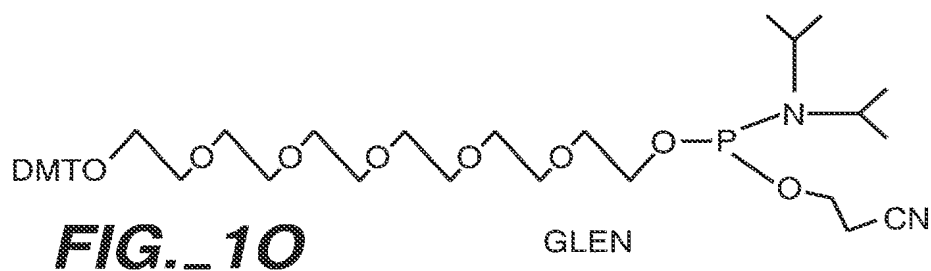
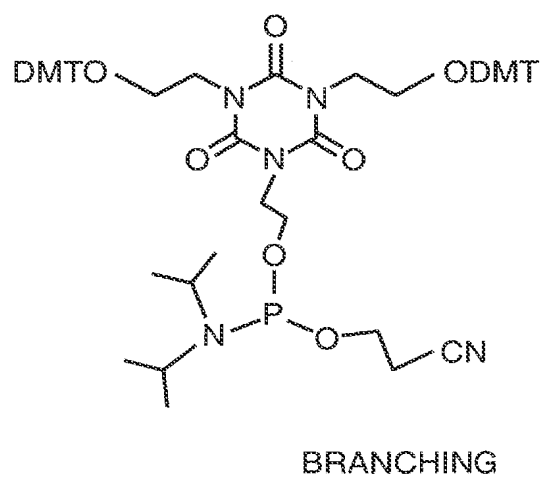
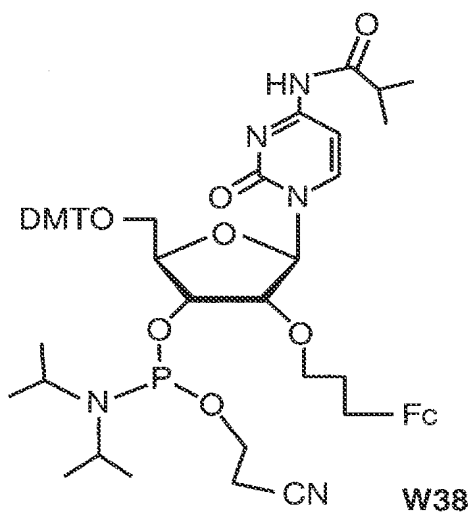
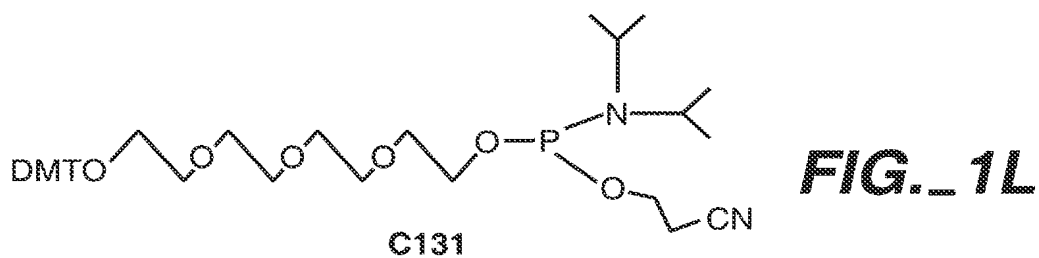
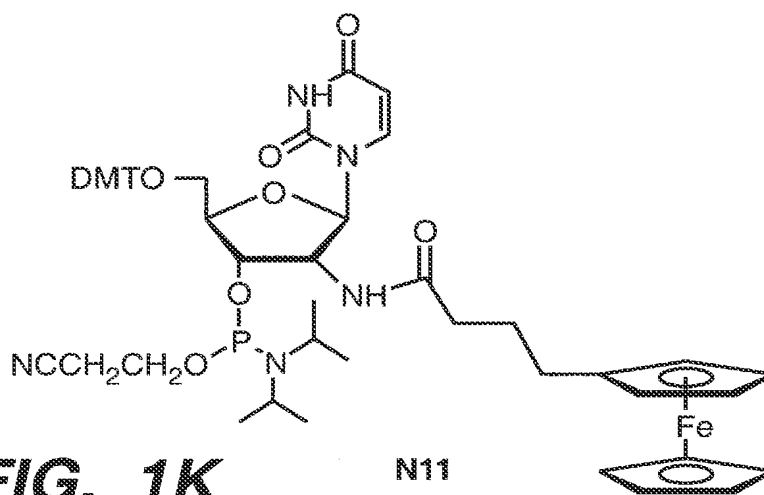


FIG. 1J

3 / 24



4 / 24

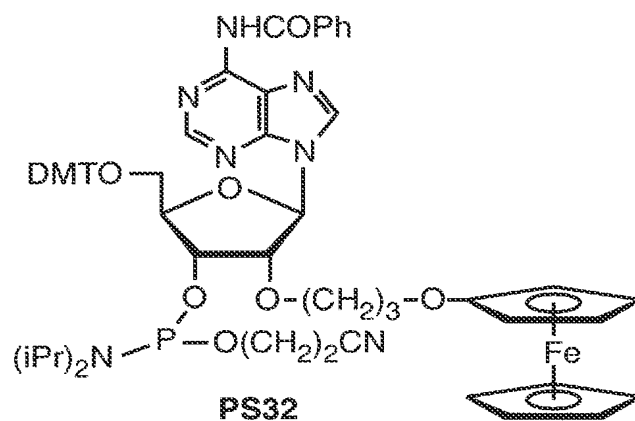


FIG. 1P

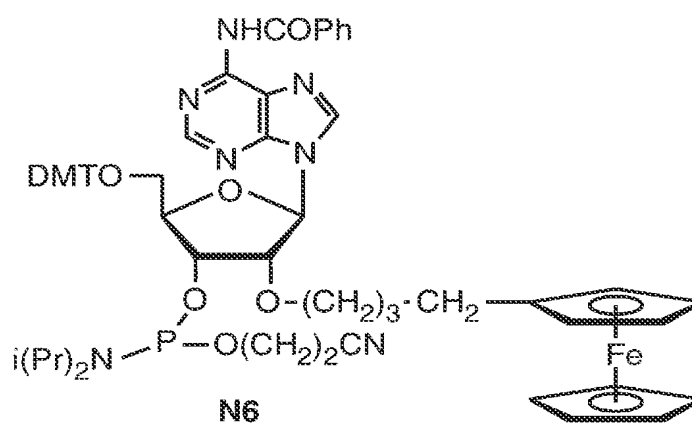


FIG. 1Q

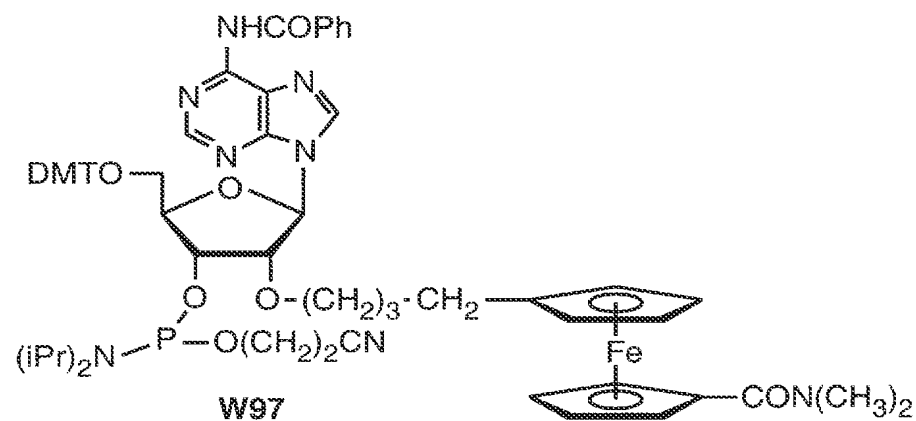


FIG. 1R

5 / 24

FIG._2A

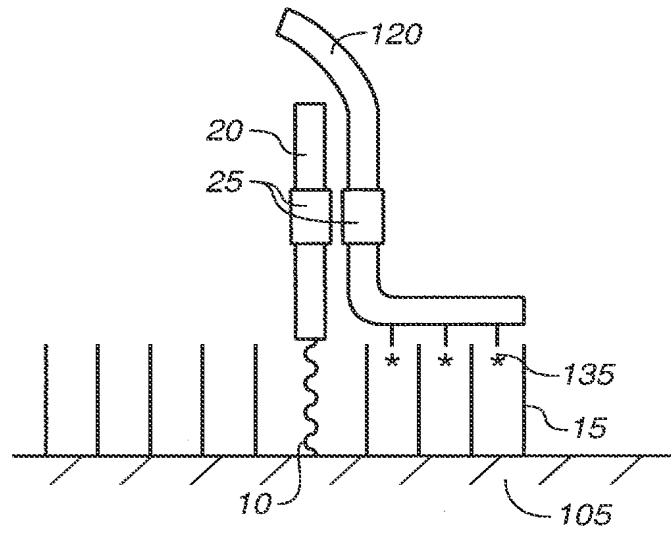


FIG._2B

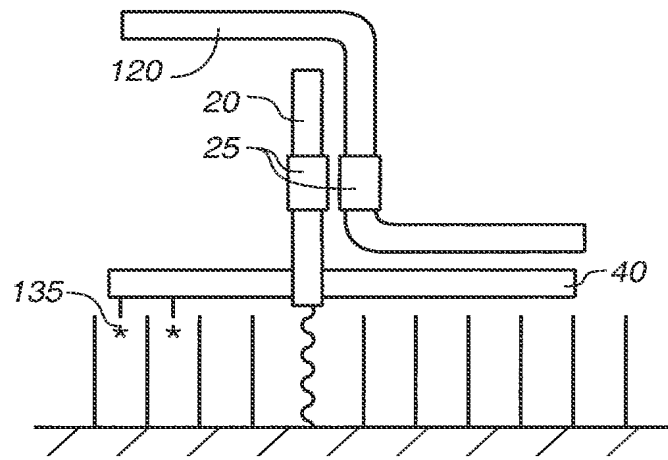
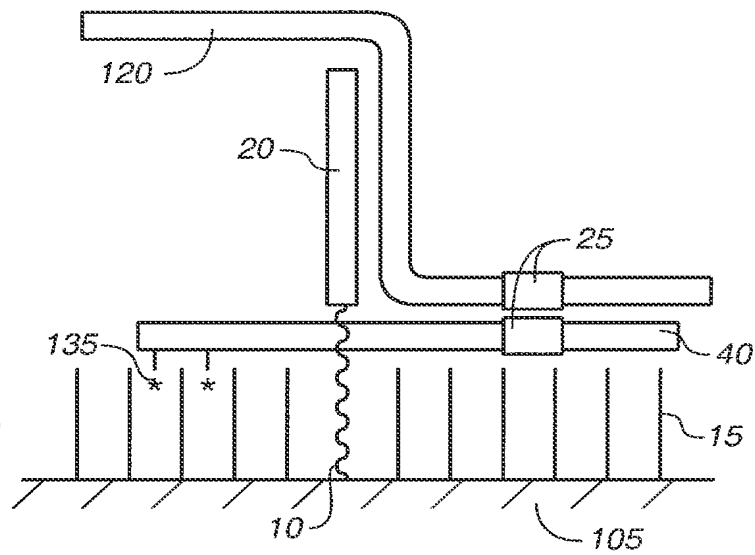


FIG._2C



6 / 24

FIG. 2D

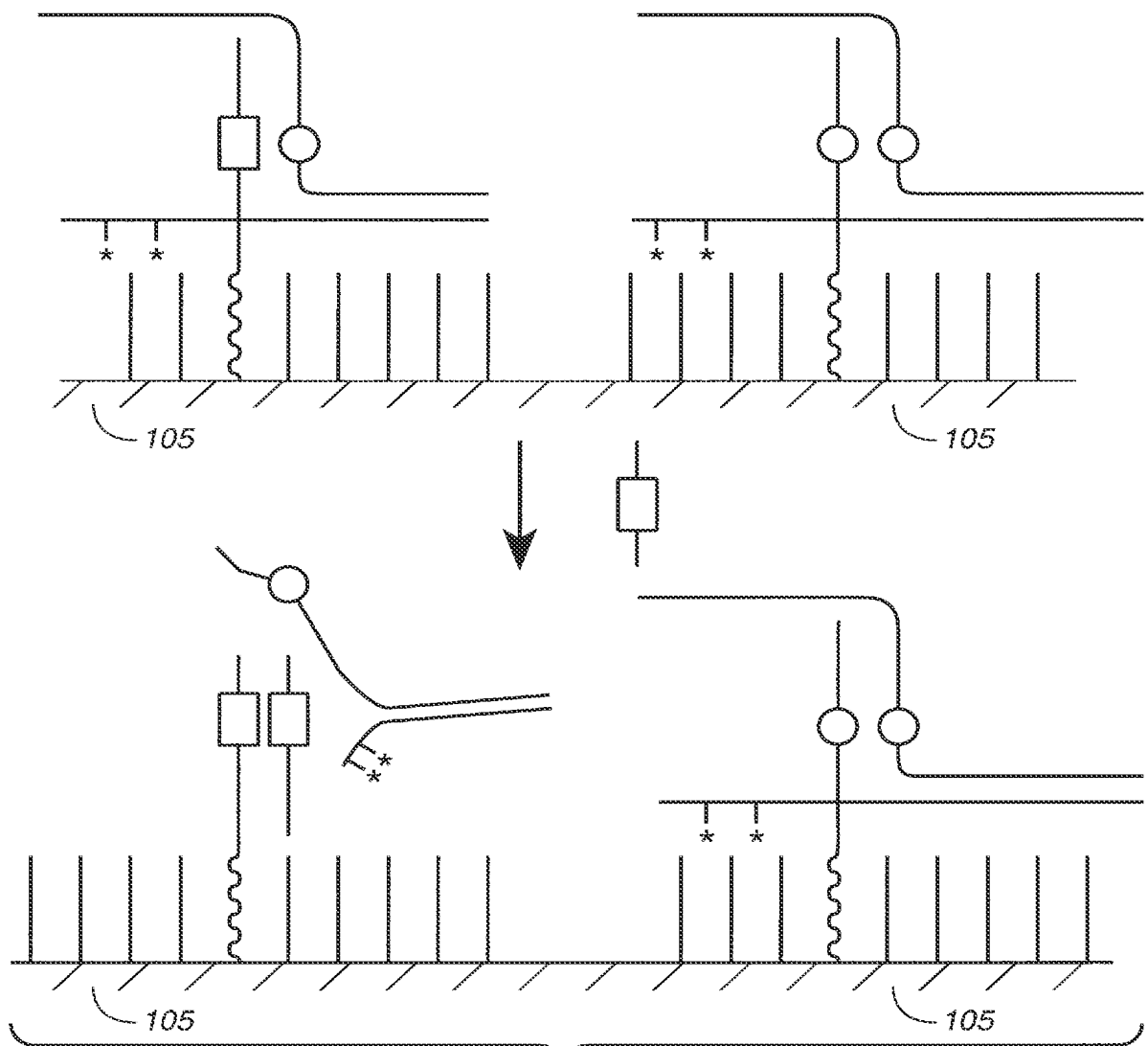
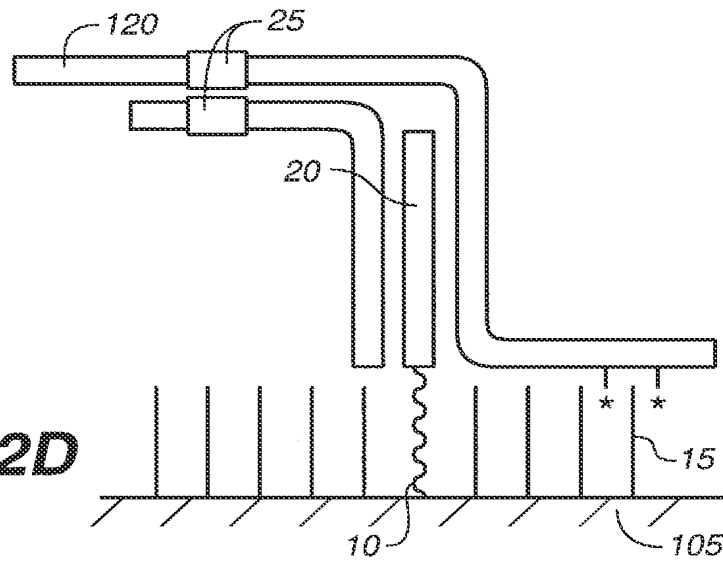


FIG. 3A

7 / 24

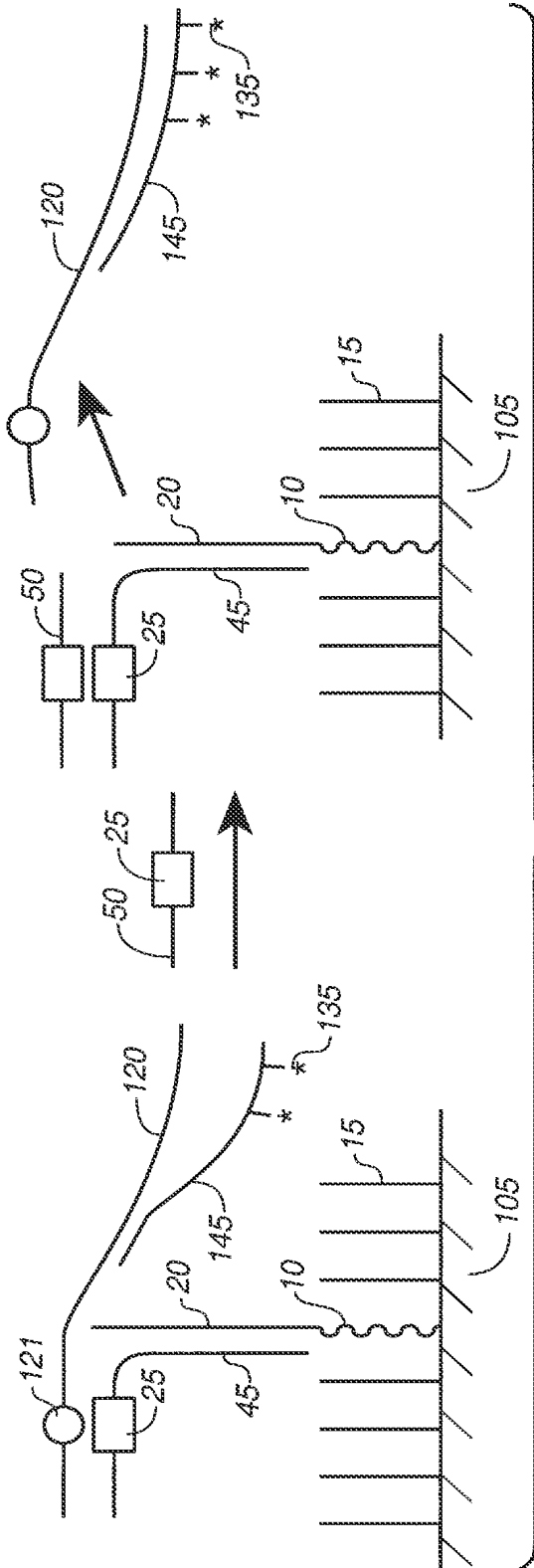


FIG. 3B

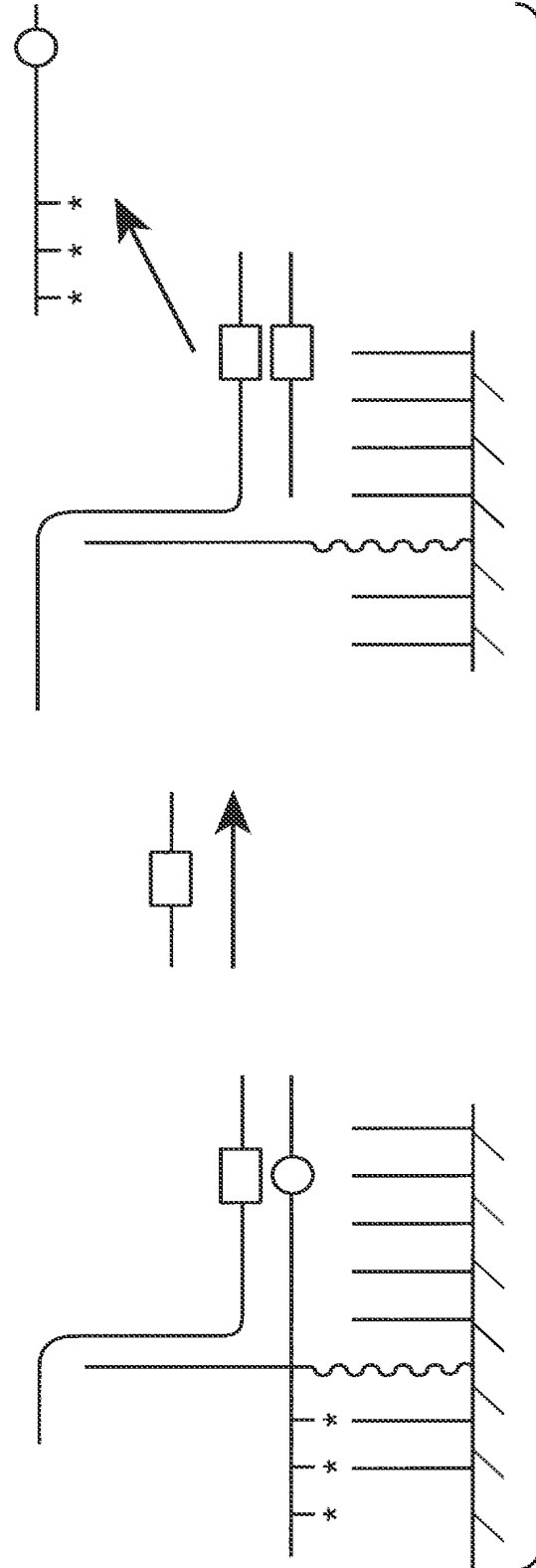
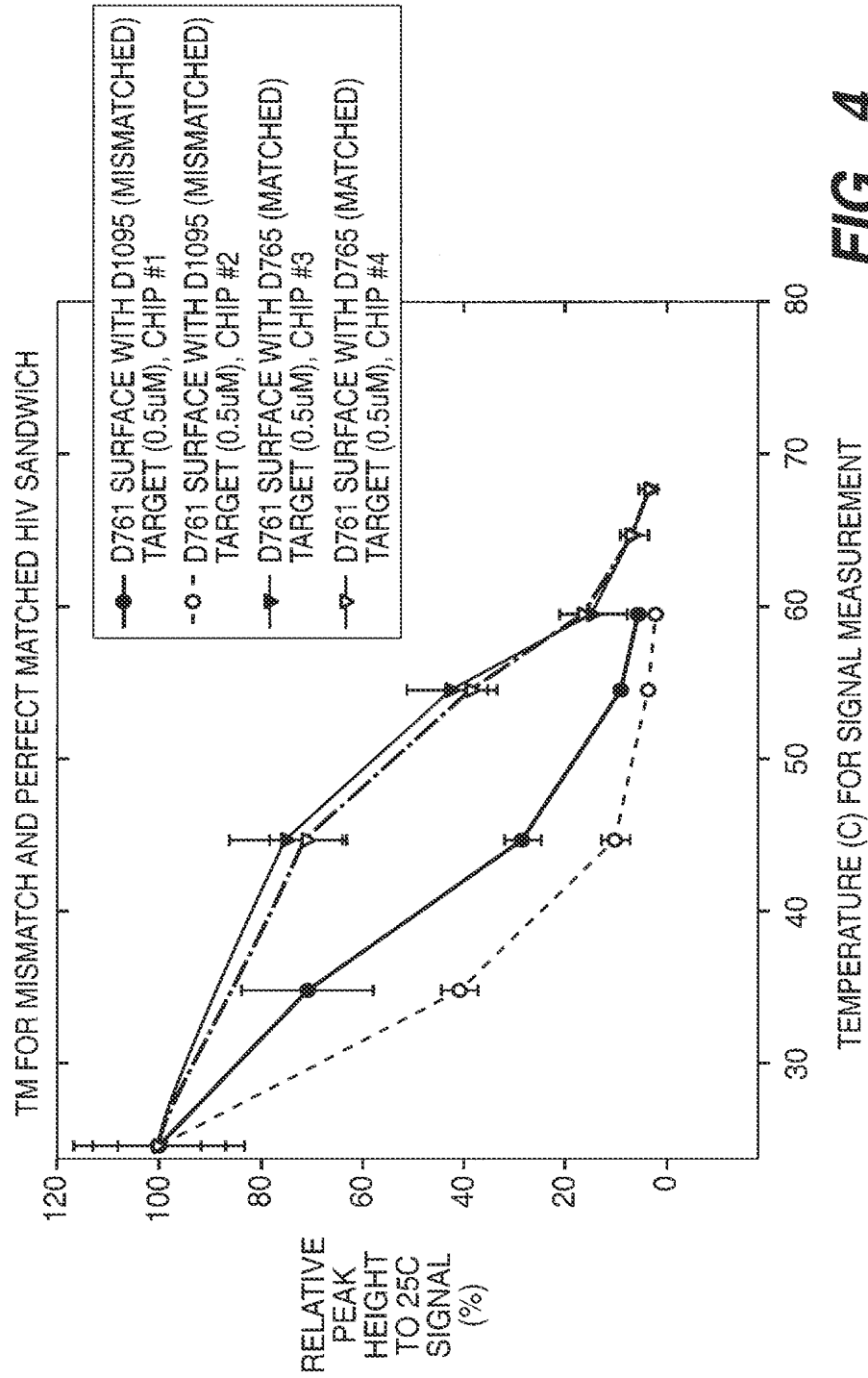


FIG. 3C

8 / 24



9 / 24

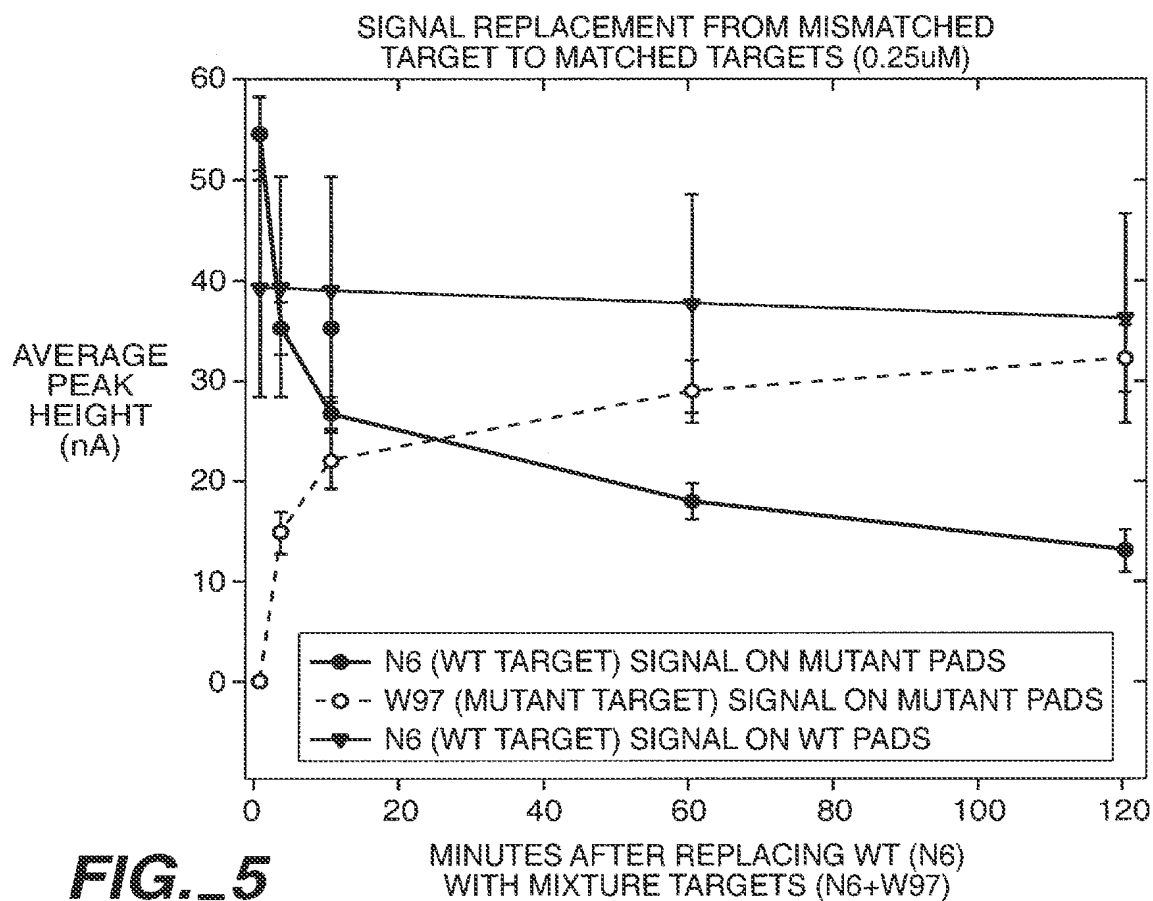


FIG._5

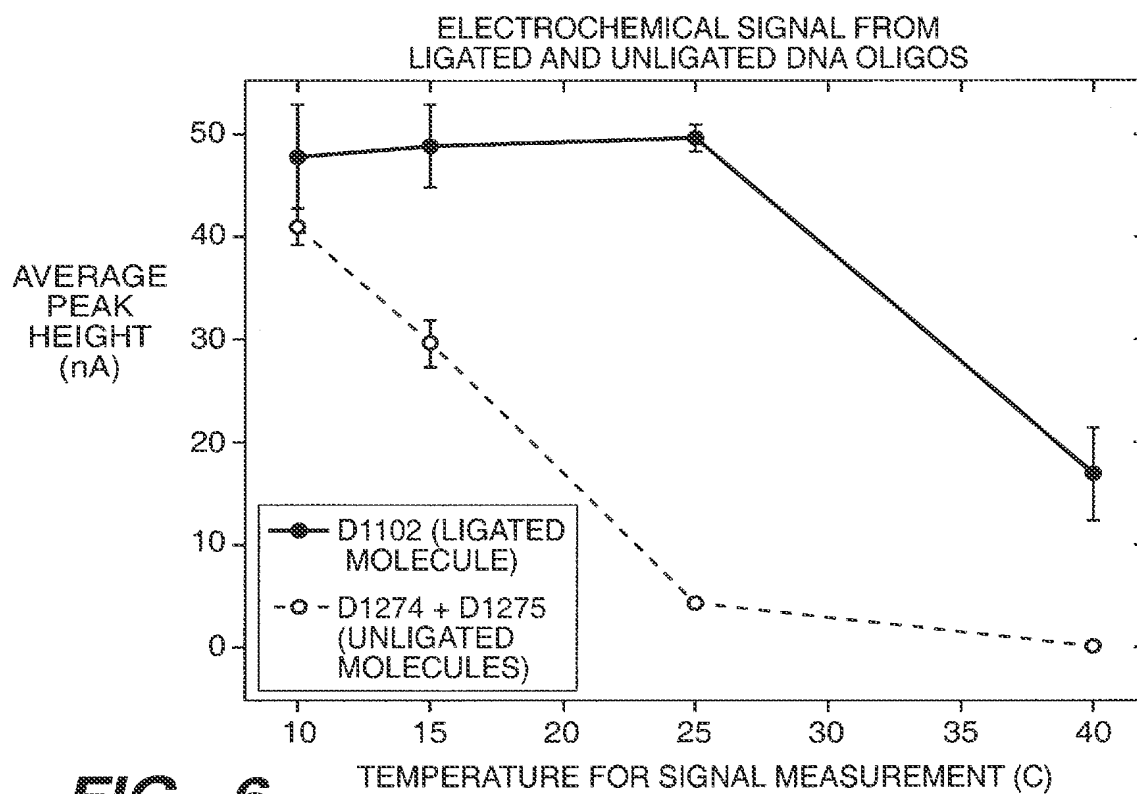
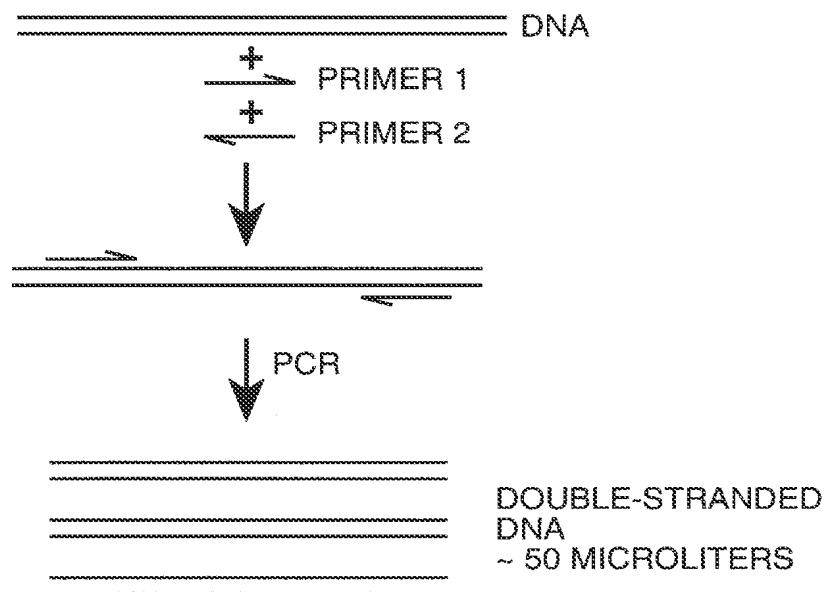


FIG._6

10 / 24



1 MICROLITER PCR AMPLICON

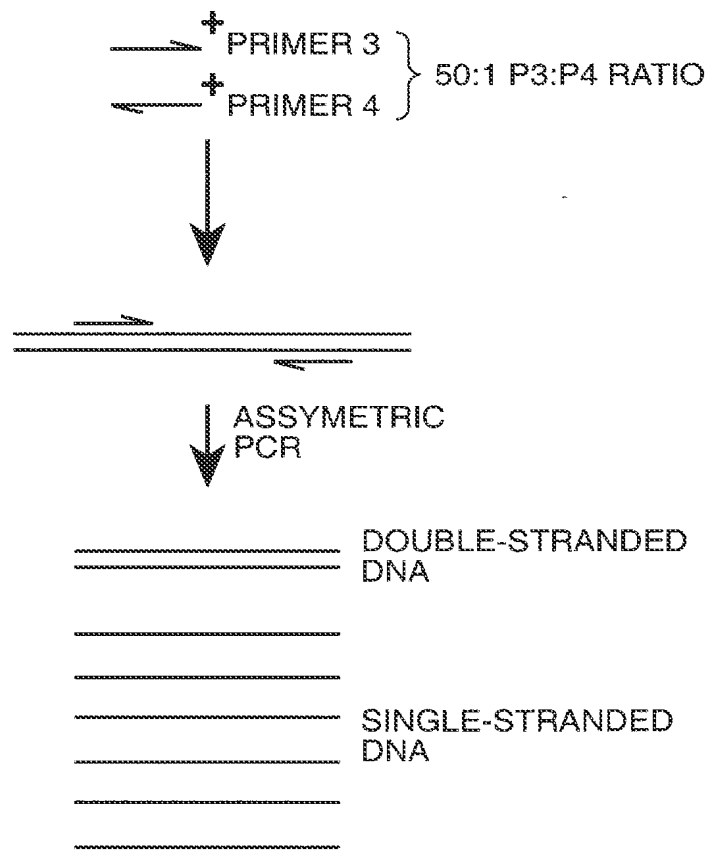
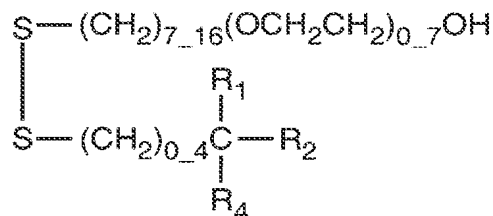


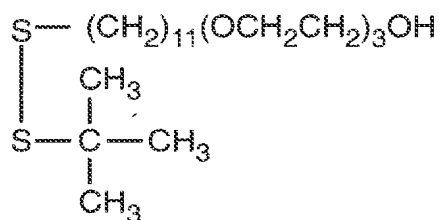
FIG. 7

11 / 24

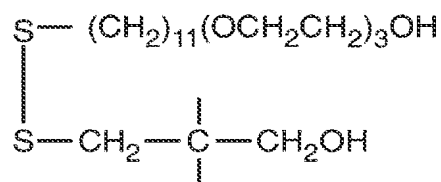


$\text{R}_1, \text{R}_2, \text{AND } \text{R}_3$: H, CH_3 , t-BUTYL, CYCLOALKYL, CH_2OH , CH_2NH_2 , CONH_2 , COOH , $\text{CH}_2\text{OPO}_3^{2-}$, AROMATIC, ADAMANTYL

FIG._8A



CT99



CT105

FIG._8B

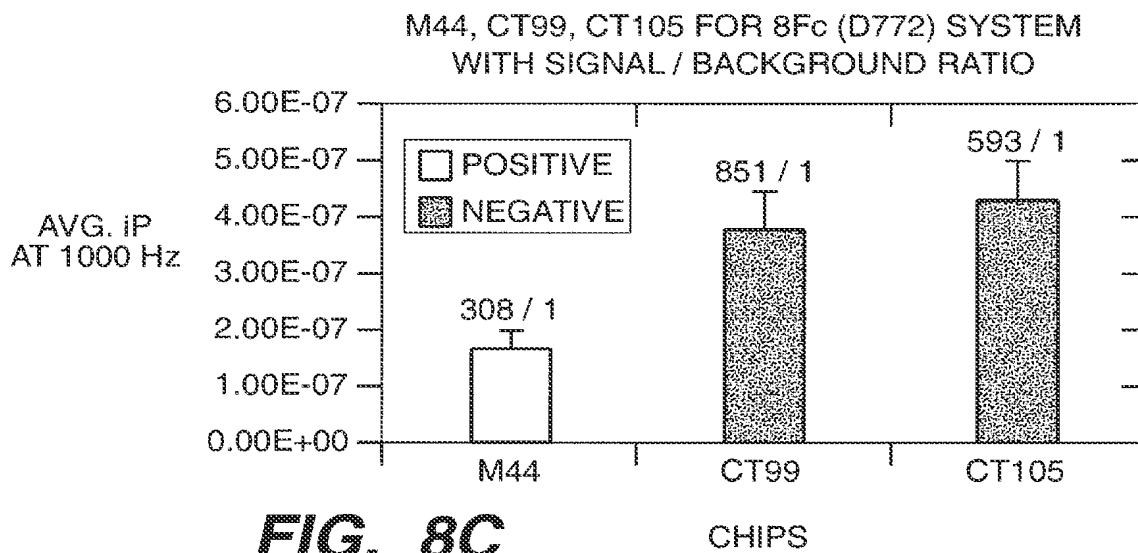


FIG._8C

12 / 24

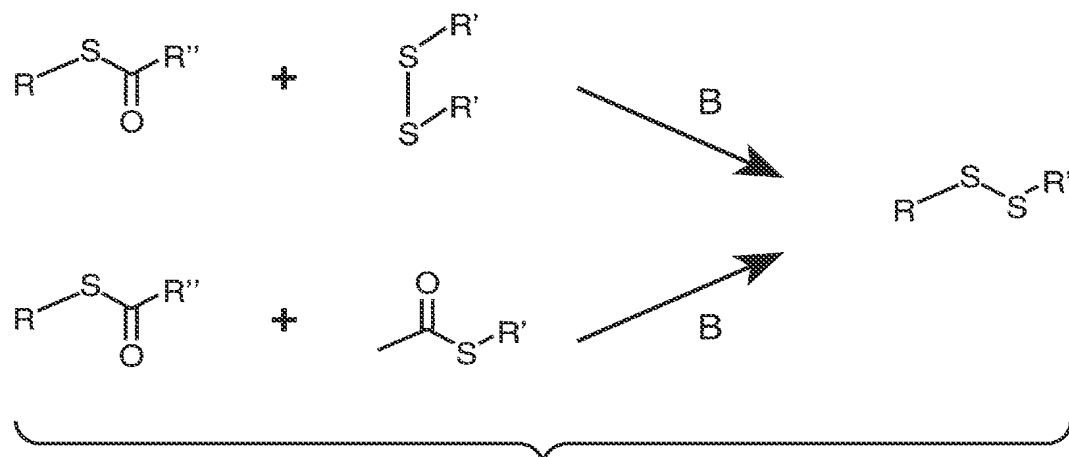


FIG. 9A

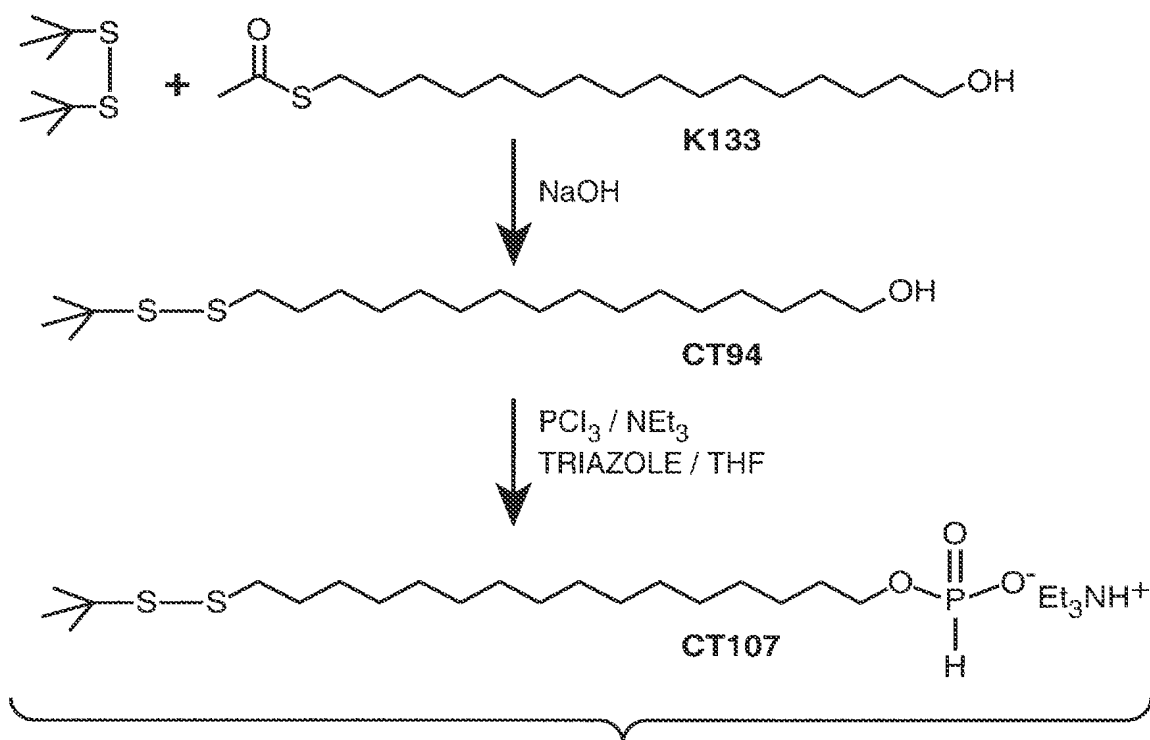
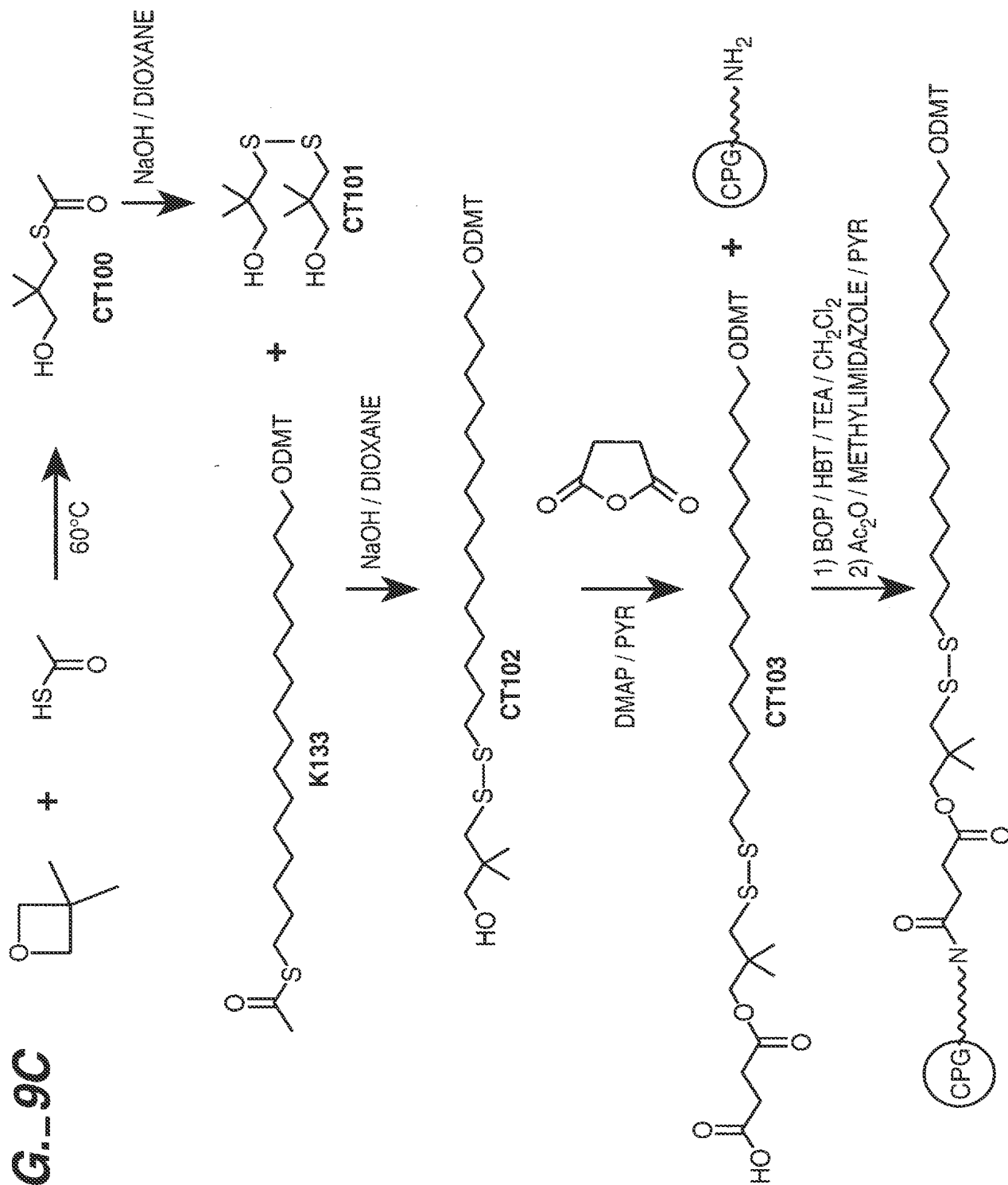


FIG. 9B

13 / 24

FIG. 9C



14 / 24

METHOD A

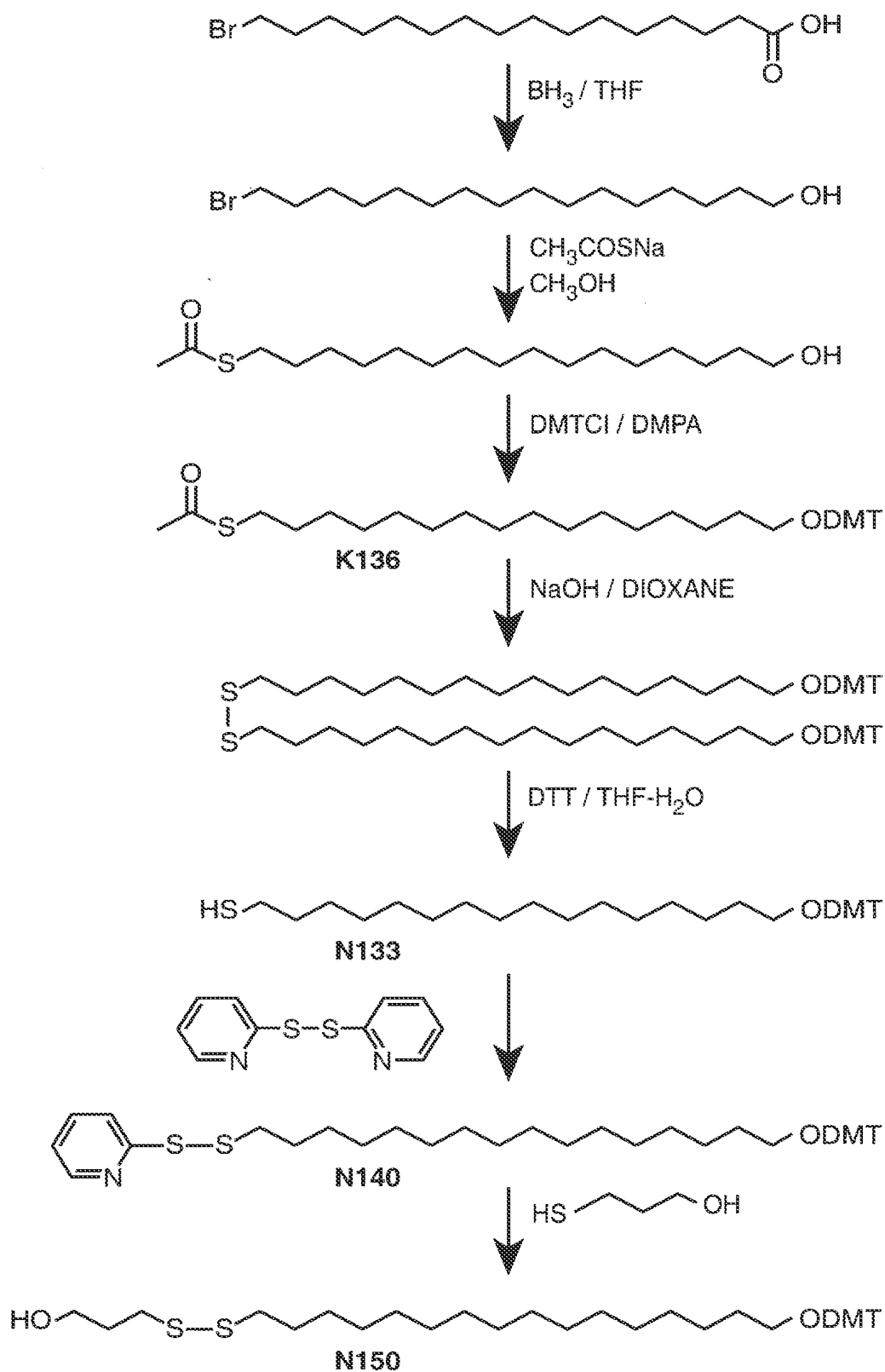


FIG._9D-1

15 / 24

FIG._9D

FIG._9D-1

FIG._9D-2

METHOD B

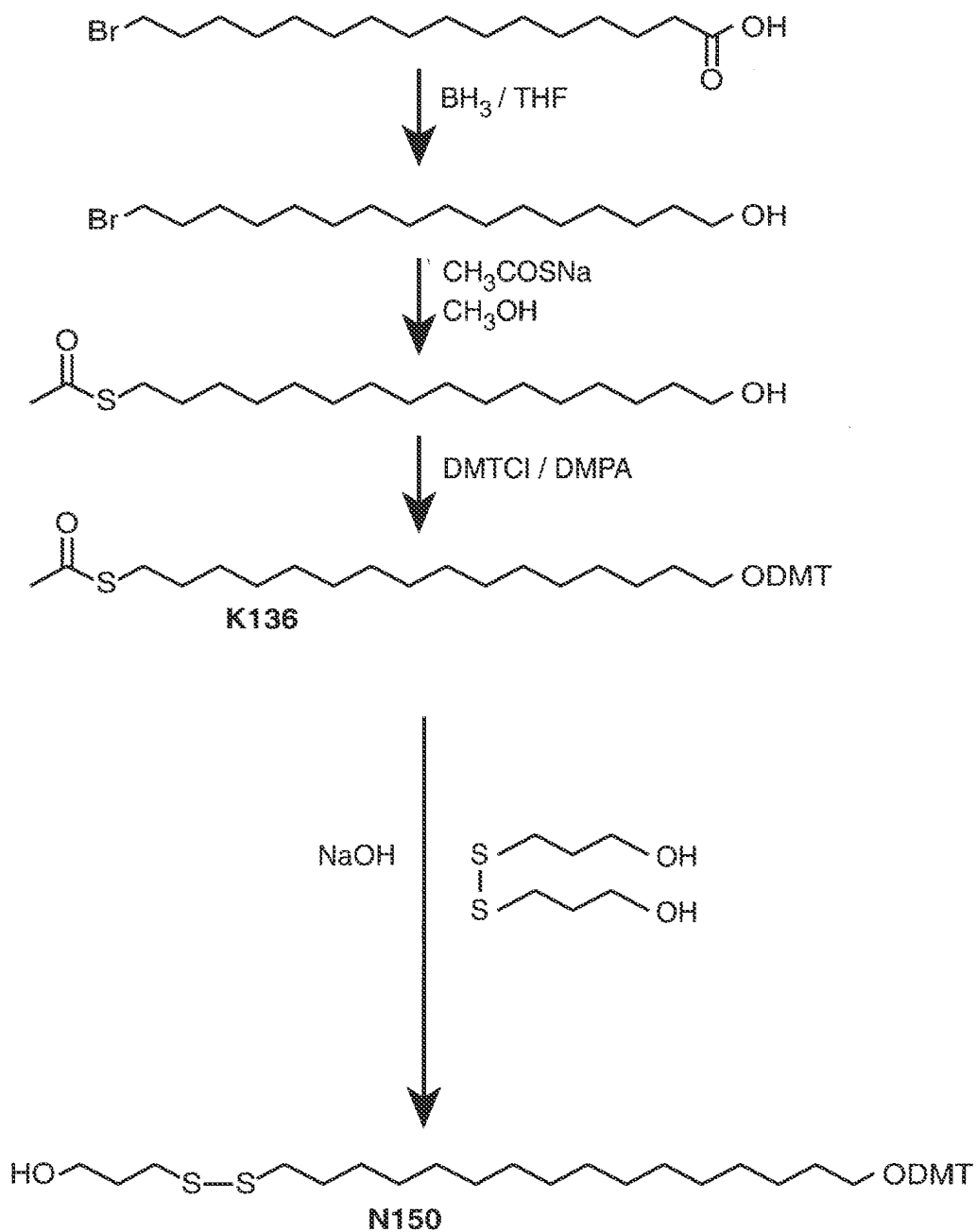


FIG._9D-2

17 / 24

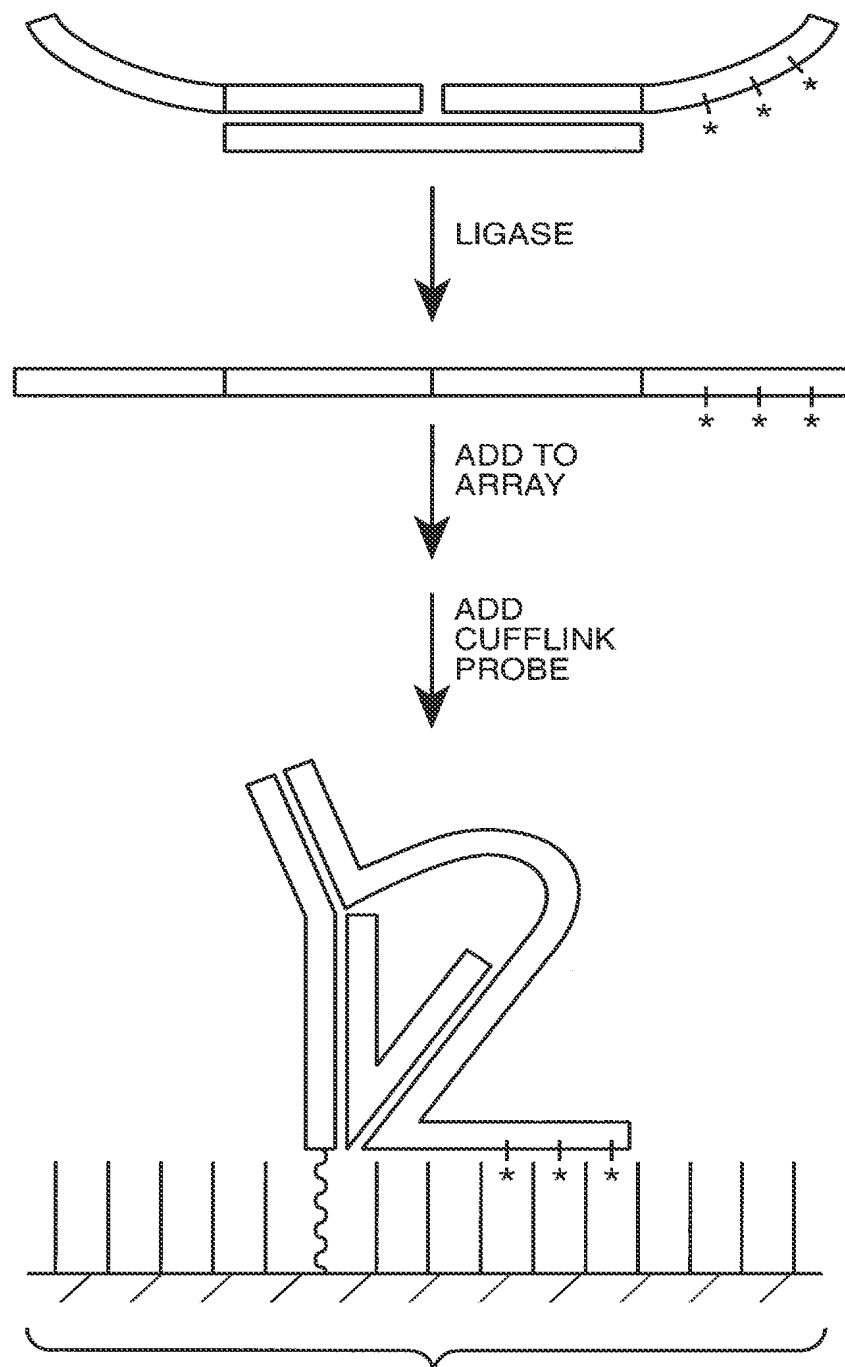
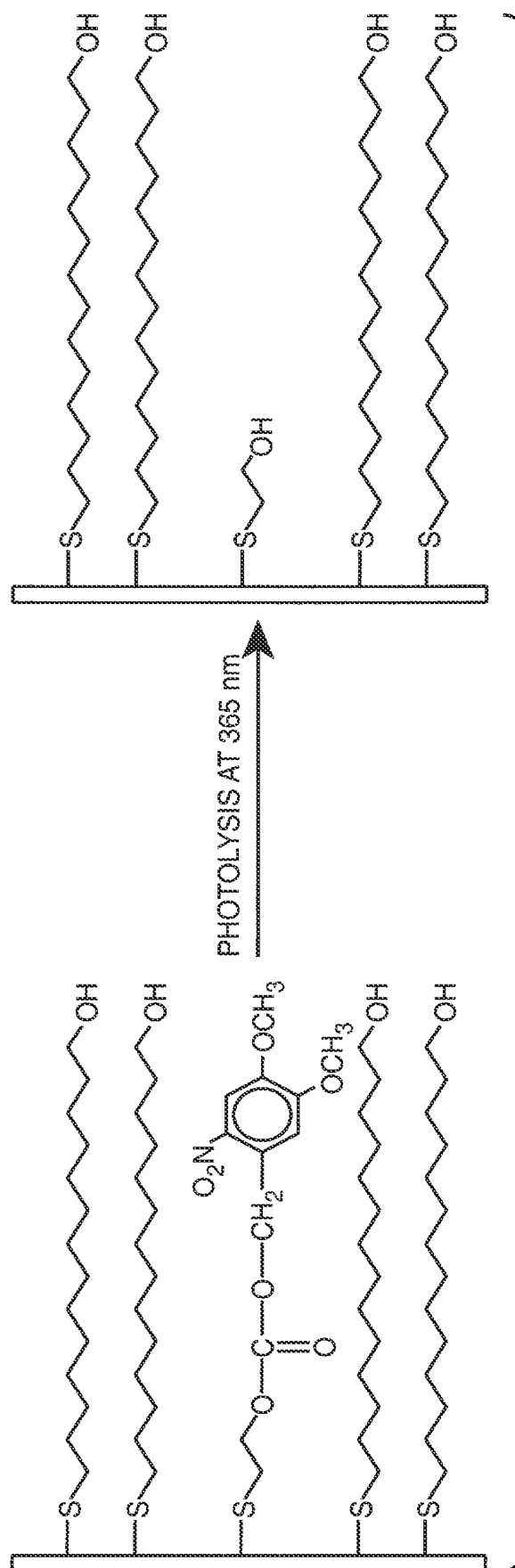
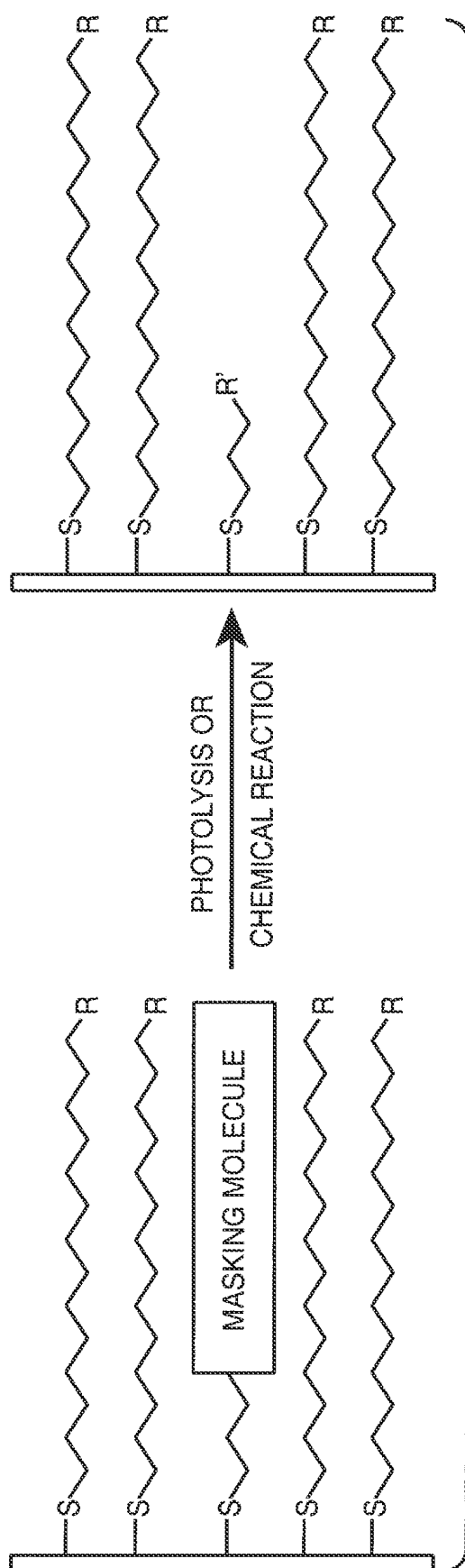


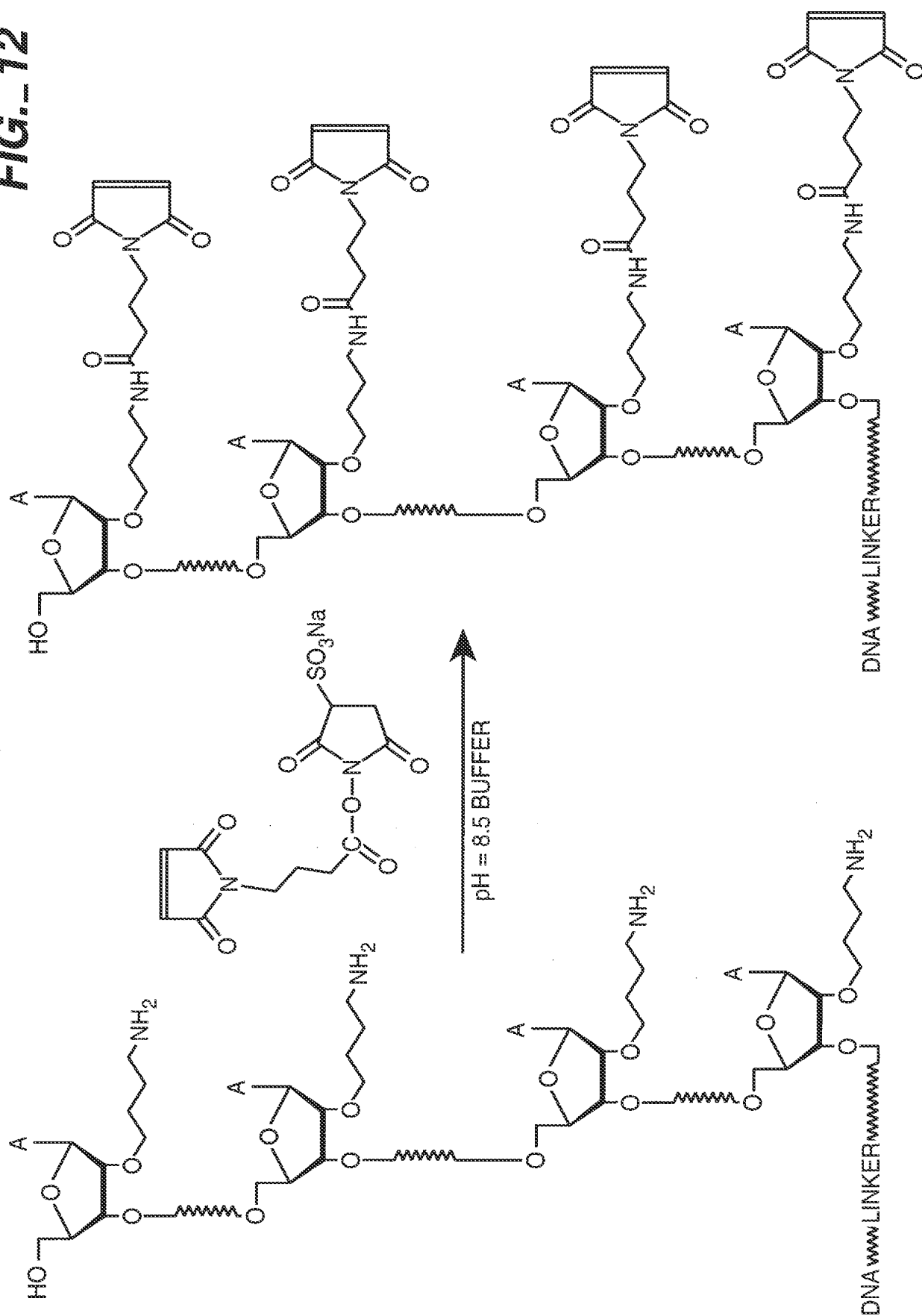
FIG. 10

18 / 24



19 / 24

FIG. 12



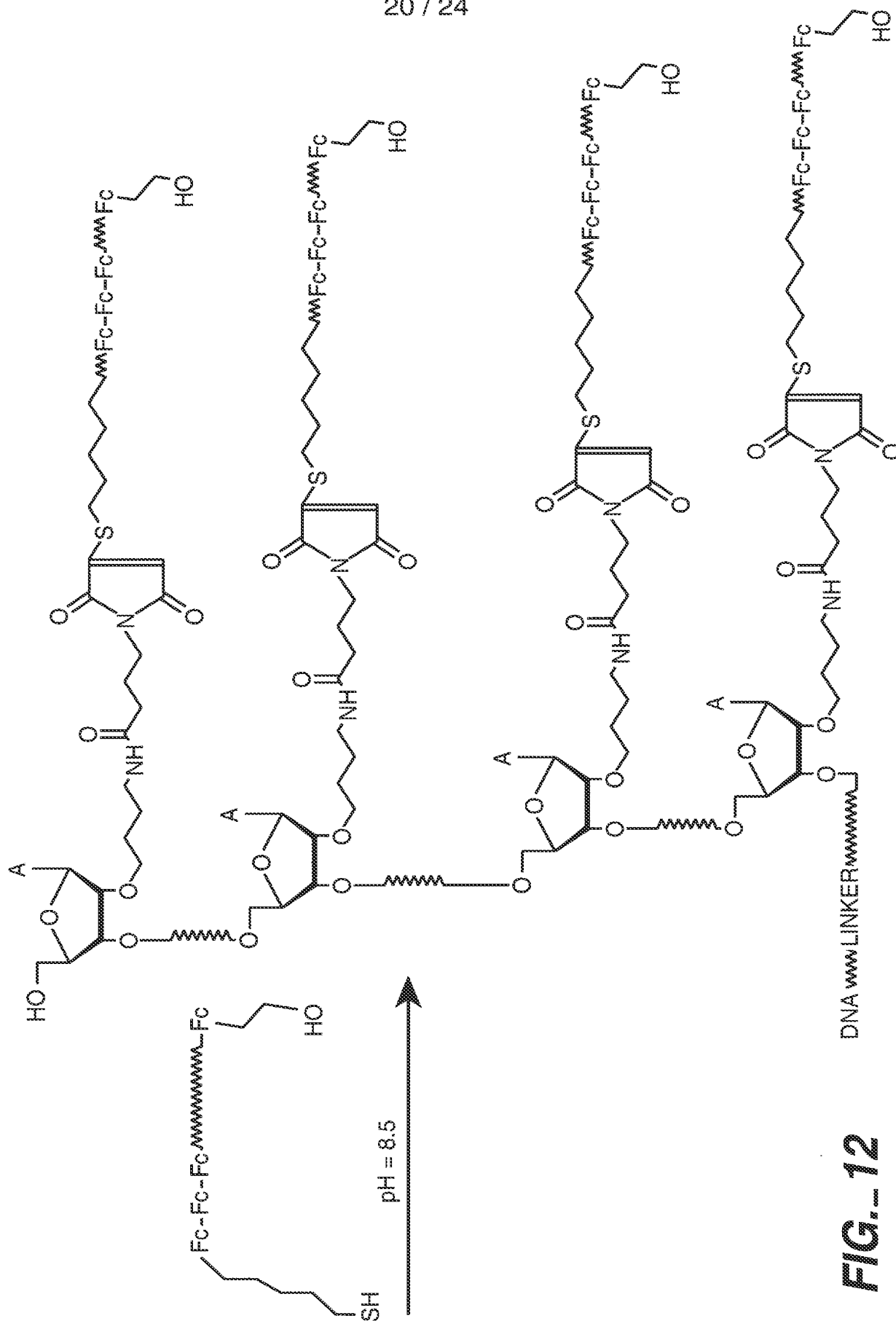


FIG. 12

21 / 24

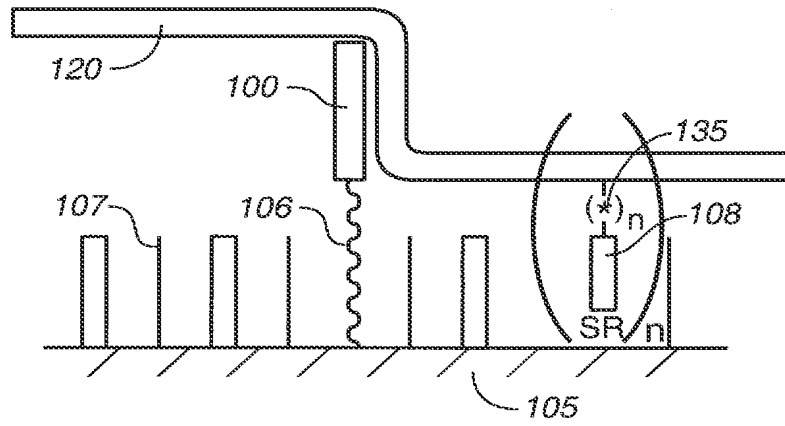


FIG. 13A

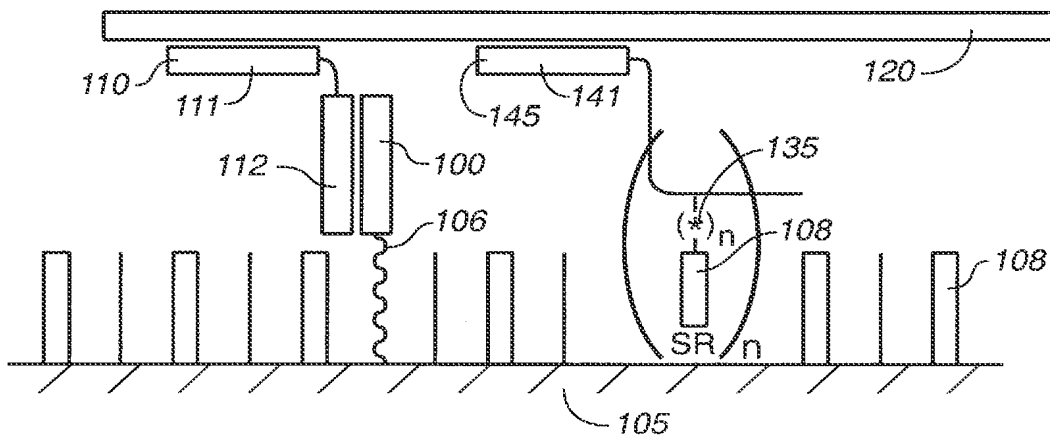


FIG. 13B

22 / 24

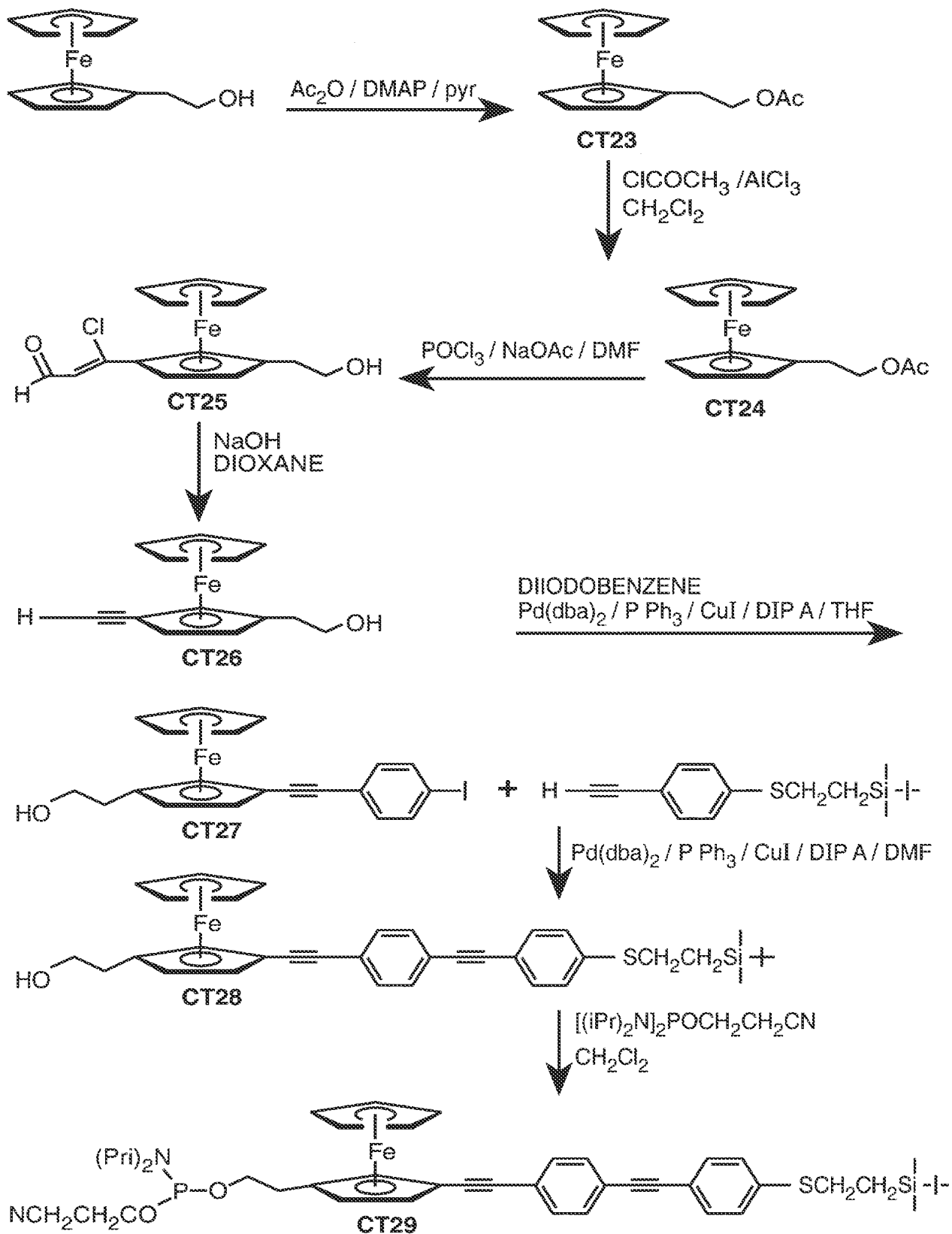


FIG. 14

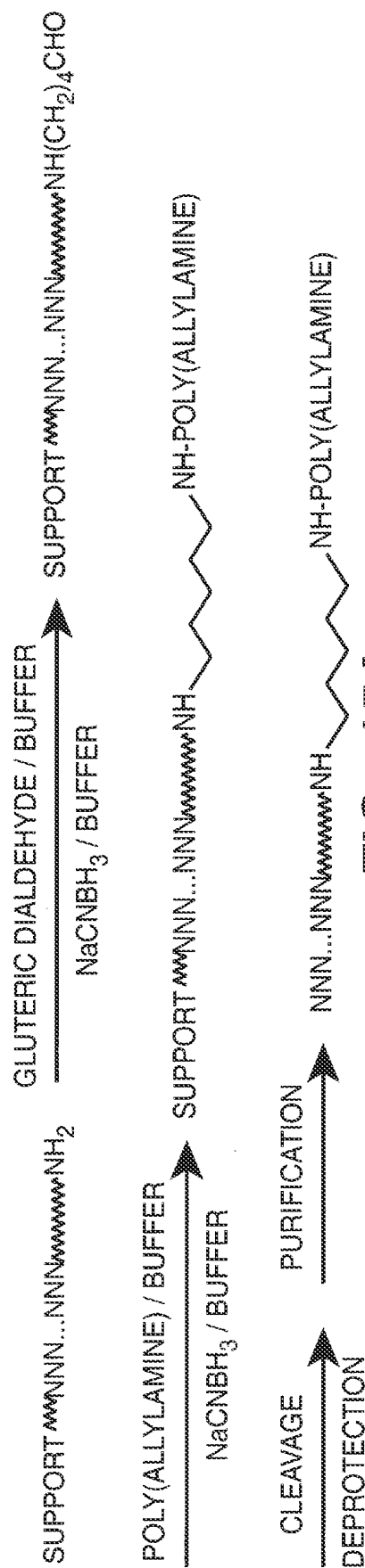


FIG. 15A

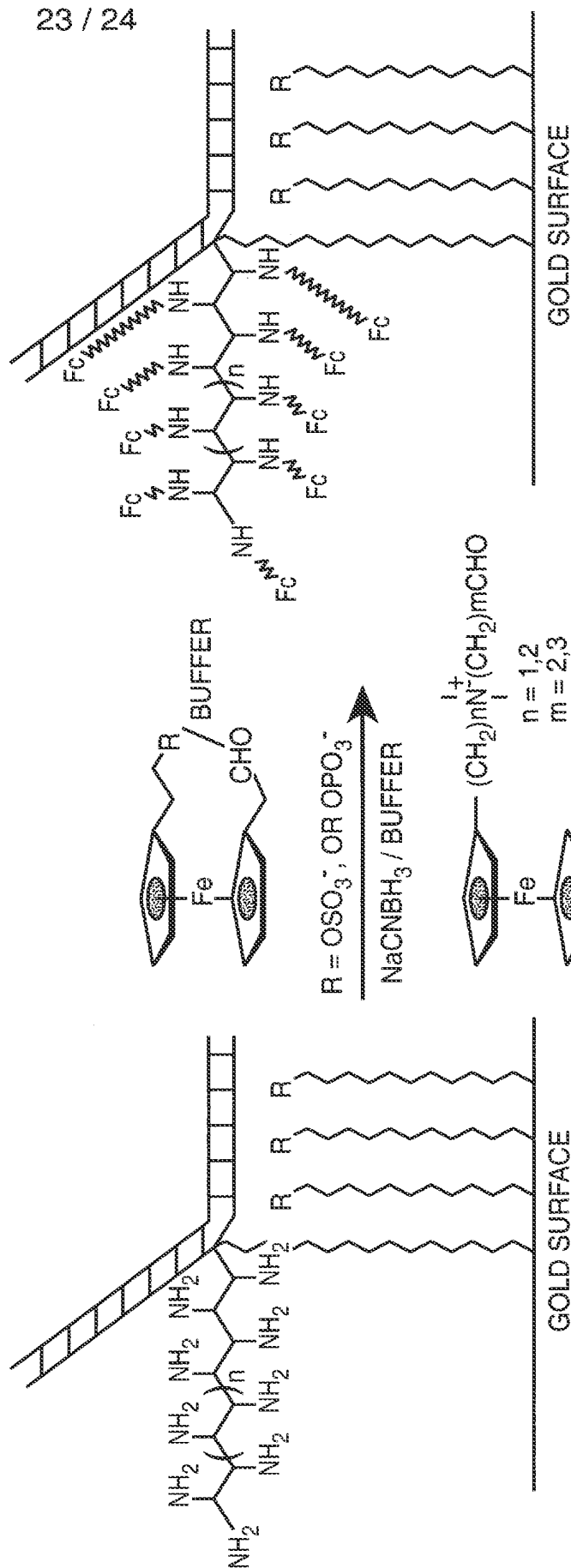
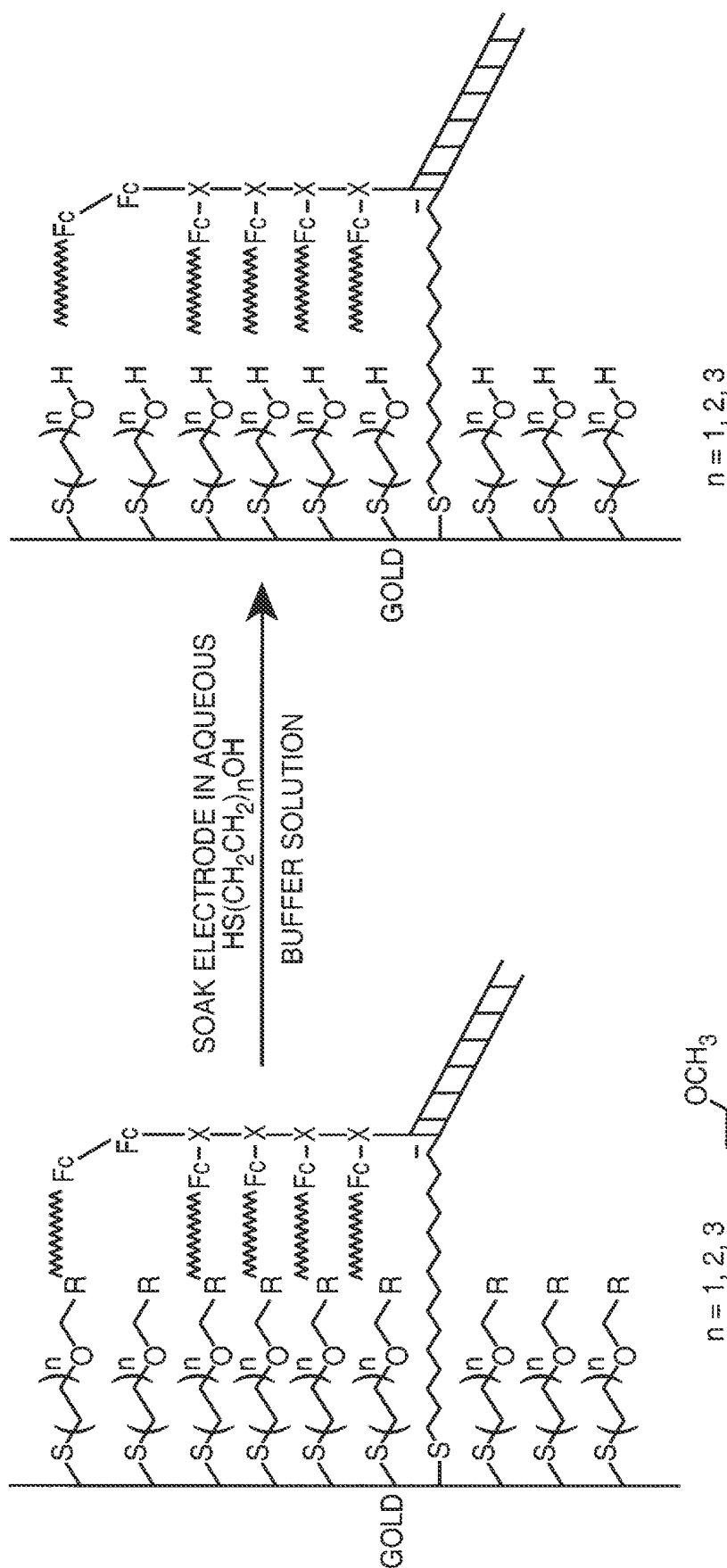


FIG. 15B

24 / 24



W150, $n = 1$, $R = 4, 5$ -DIMETHOXY-2-NITROBENZYL
C163, $n = 2$, $R = 4, 5$ -DIMETHOXY-2-NITROBENZYL
W155, $n = 3$, $R = 4, 5$ -DIMETHOXY-2-NITROBENZYL

FIG. 16